

On the X-ray and Mass Distribution in the Merging Galaxy Cluster 1E0657-56

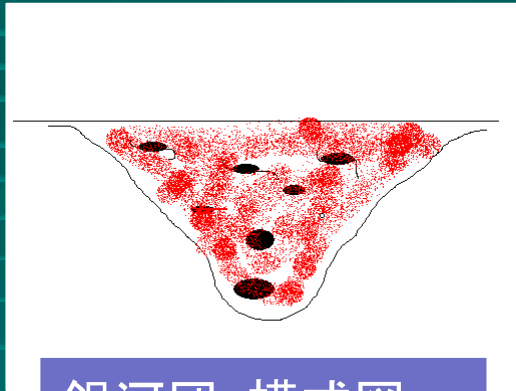
滝沢元和

山形大学宇宙物理学グループ談話会
(2006.7.14)

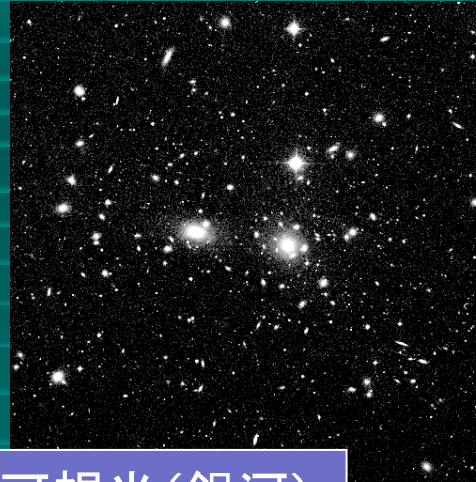
目次

- Introduction
- 1E0657-56銀河団
- シミュレーション
 - 計算方法
 - 初期条件
- シミュレーション結果
- 簡単な解析的モデルによる議論
- まとめ

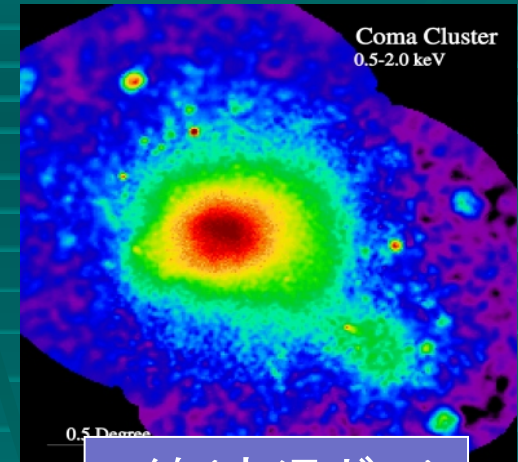
Introduction



銀河団: 模式図



可視光(銀河)



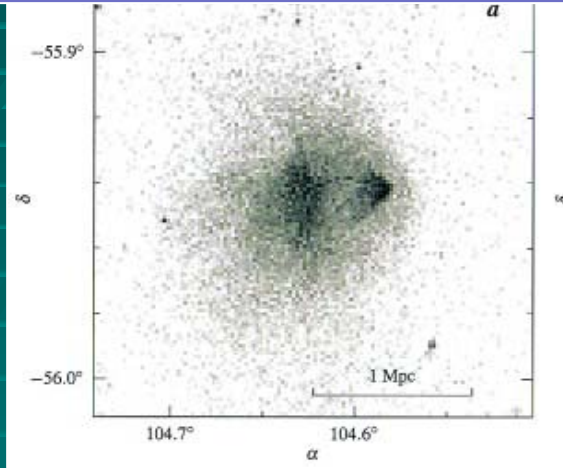
X線(高温ガス)

■ 銀河団

- 暗黒物質の重力ポテンシャル中に束縛された高温ガス ($T \sim 10^7 - 8 \text{ K}$) と銀河のかたまり。
- 宇宙で最大のビリアライズした天体 ($R \sim \text{Mpc}$, $M \sim 10^{15}$ 太陽質量)
- 宇宙の構造形成の(観測可能な)現場
- プラズマ物理の実験場(理想的な無衝突プラズマ)

1E 0657-56 銀河団

Chandra衛星によるX線イメージ
(Markevitch et al. 2002)

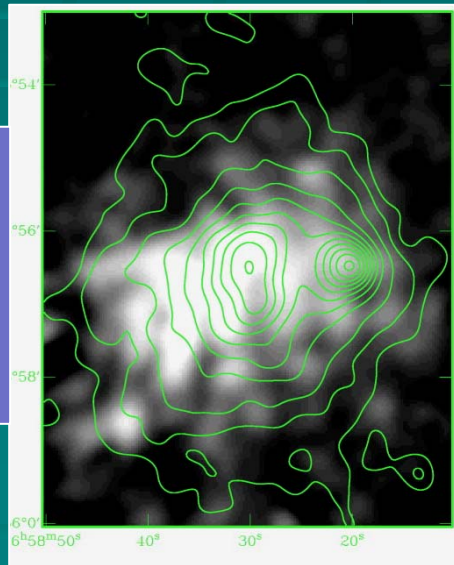


- $z=0.296$
- 全天で最高温度(～17keV)の銀河団
- 強力な電波ハロー
- ICM中の衝撃波の最初のはっきりした観測例
- weak lensing で詳細な質量分布が求まった。

Liang et al. (2000)

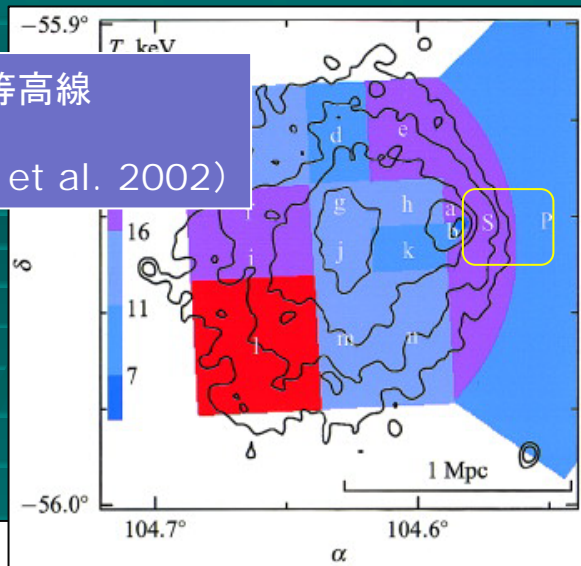
Contour: X-ray
(ROSAT HRI)

Gray scale: radio

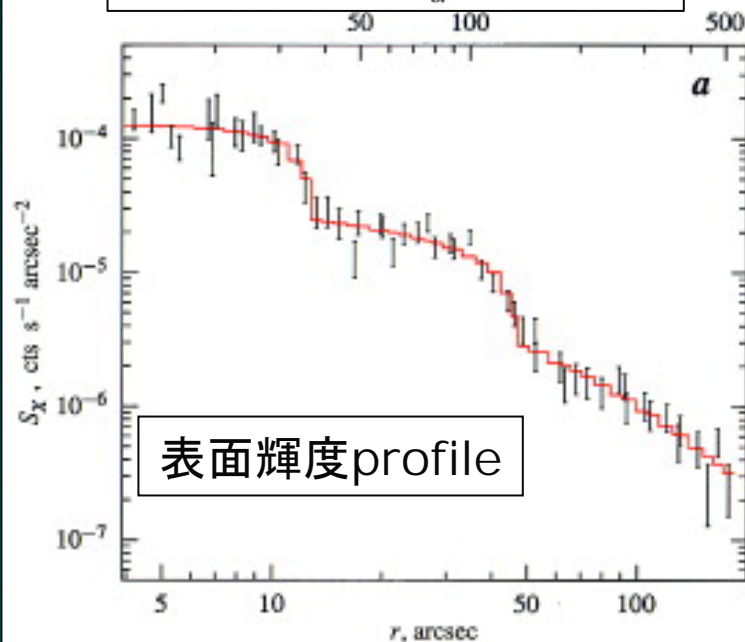


1E 0657-56: cold front & bow shock

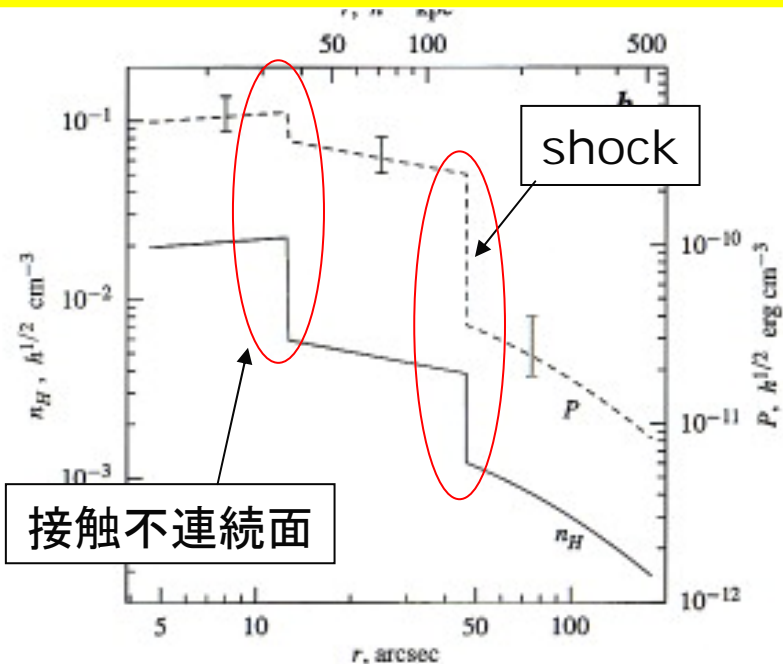
X線イメージ: 等高線
 温度: カラー
 (Markevitch et al. 2002)



Substructure 前面の密度、圧力 profile

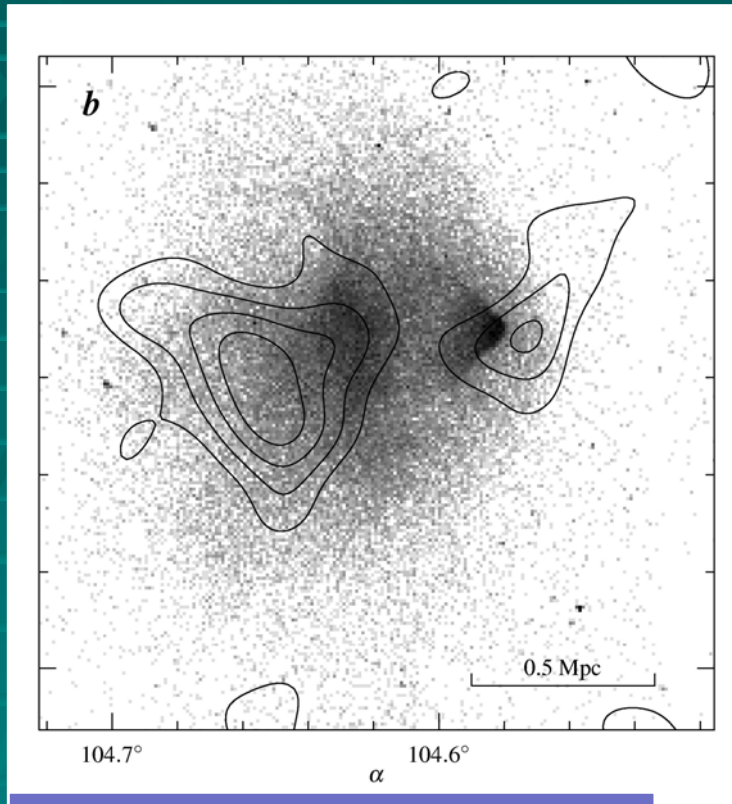


表面輝度profile



接触不連続面

1E 0657-56: 質量分布

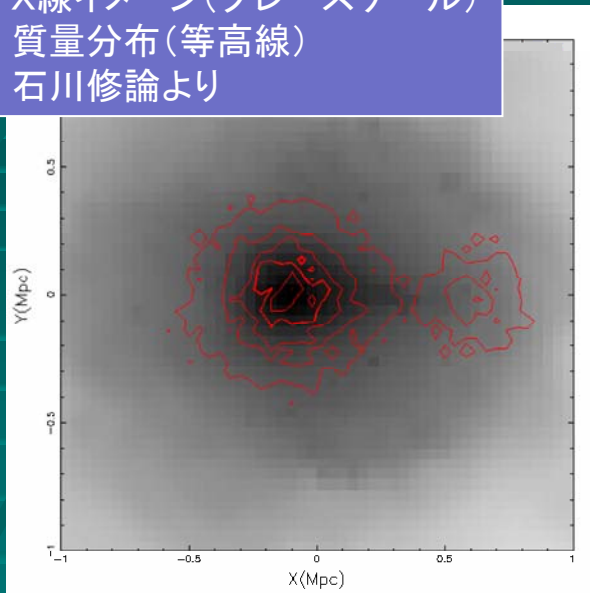


X線イメージ(グレースケール)
質量分布(等高線)
Markevitch et al. (2004)

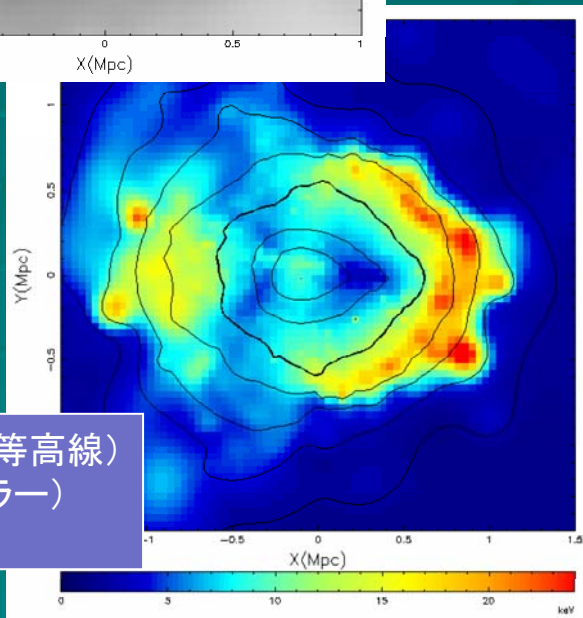
- Weak lensing で質量分布が求められた。
 - ICMと質量分布のピークにずれ。(質量分布と銀河分布はほぼ一致)
ガスがram pressureによってDMのポテンシャルからはぎとられたため。
- 本当かなあ、、、？

Ram pressure stripping で説明できるのか？

X線イメージ(グレースケール)
質量分布(等高線)
石川修論より



X線イメージ(等高線)
温度分布(カラー)
石川修論より



- 過去の研究を見る限り、質量ピークとX線ピークのはっきりしたoffsetはsimulation dataの中には見あたらない。
- 自分たちでもやってみた(石川修論 2003年)。
 - Double mass peaks+single elongated X-ray peak
or
 - massとX-rayでピークは一致
- 何か重要な物理過程が抜けている??「宇宙が間違っている」??
- 新コードで再挑戦

計算方法 (Basic Equations)

暗黒物質 (N体: 質点系)

$$\frac{dv_i}{dt} = -\nabla\phi$$
$$\frac{dx_i}{dt} = v_i$$

銀河団ガス (圧縮性流体)

$$\frac{\partial}{\partial t} \begin{pmatrix} \rho \\ \rho u_x \\ \rho u_y \\ \rho u_z \\ \rho E \end{pmatrix} + \frac{\partial}{\partial x} \begin{pmatrix} \rho u_x \\ \rho u_x^2 + P \\ \rho u_x u_y \\ \rho u_x u_z \\ \rho u_x H \end{pmatrix} + \frac{\partial}{\partial y} \begin{pmatrix} \rho u_y \\ \rho u_x u_y \\ \rho u_y^2 + P \\ \rho u_y u_z \\ \rho u_y H \end{pmatrix} + \frac{\partial}{\partial z} \begin{pmatrix} \rho u_z \\ \rho u_x u_z \\ \rho u_y u_z \\ \rho u_z^2 + P \\ \rho u_z H \end{pmatrix} = \begin{pmatrix} 0 \\ -\rho \frac{\partial \phi}{\partial x} \\ -\rho \frac{\partial \phi}{\partial y} \\ -\rho \frac{\partial \phi}{\partial z} \\ -\rho \nabla \phi \cdot \mathbf{u} \end{pmatrix}$$

自己重力

$$\nabla^2 \phi = 4\pi G(\rho_{\text{DM}} + \rho_{\text{g}})$$

$E = u^2/2 + U$ (単位質量あたりの総エネルギー)
 $H = E + P/\rho$ (単位質量あたりのエンタルピー)

計算方法(N体+流体)

- N体計算: Particle Mesh(PM)法
- 自己重力: FFT with isolated boundary conditions
- 流体計算: Roe TVD法
 - 境界条件: zero gradient boundary conditions (ただしoutflowのみを許す)
- 格子数 $256 \times 128 \times 128$
- 粒子数 $256 \times 128 \times 128 (\doteq 4.2 \times 10^6)$
- VPP5000@国立天文台

Virialized Cluster Model

- DMの密度分布はNFWモデル、ICMの密度分布は β モデルを仮定($r_c=r_s/2$)

DM密度分布

$$\rho_{\text{DM}}(r) = \frac{\delta_c \rho_{c0}}{(r/r_s)(1+r/r_s)^2}$$

ICM密度分布

$$\rho_g(r) = \rho_{g,0} \left\{ 1 + \left(\frac{r}{r_c} \right)^2 \right\}^{-\frac{3}{2}\beta}$$

- $r \geq r_{\text{vir}}$ では $\rho_{\text{DM}} = 0$ 、 ρ_{gas} は一定
- DMの速度分布は等方的なガウス分布。半径ごとの速度分散はJeans eq.より、静水圧平衡になるように定める。

$$\frac{d}{dr} (\rho_{\text{DM}} \sigma^2) = -\frac{GM_r}{r^2} \rho_{\text{DM}}$$

with

$$\sigma^2(r_{\text{out}}) = \frac{GM_r}{3r} \Big|_{r=r_{\text{out}}}$$

- ICMの温度分布は静水圧平衡の式より定める。

$$\frac{dP}{dr} = -\frac{GM_r}{r^2} \rho_g$$

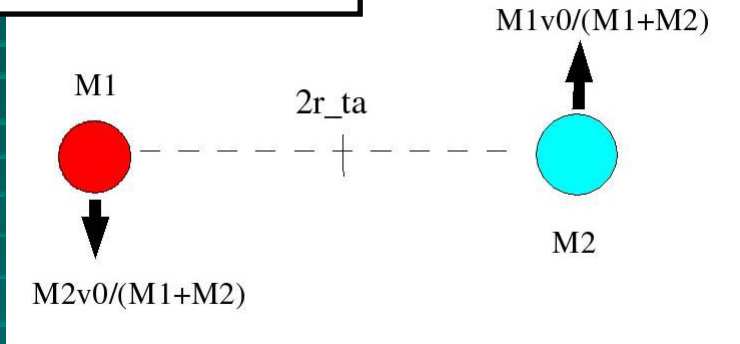
with

$$P(r_{\text{out}}) = \frac{1}{\beta} \frac{GM_r \rho_g}{3r} \Big|_{r=r_{\text{out}}}$$

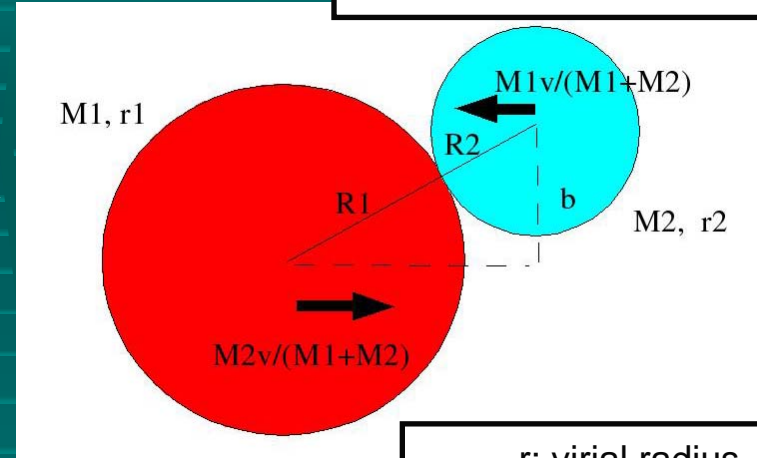
- $r \leq r_{\text{out}}$ で $M_{\text{gas}} / (M_{\text{gas}} + M_{\text{DM}}) = 0.1$

mergerの初期条件の作り方

Maximum expansion



Initial state for simulations



力学的エネルギー保存
角運動量保存

$$-\frac{GM_1M_2}{2r_{ta}} + \frac{1}{2}Mv_0^2 = -\frac{GM_1M_2}{R_1 + R_2} + \frac{1}{2}Mv^2$$

$$2Mv_0r_{ta} = Mvb$$

r: virial radius
R: outer boundary radius

$R \propto M^{(5+n)/6}$ のスケーリング則 ($P(k) \propto k^n$ を擬似的に表現) および
 $r_{ta} = 2 r_{vir}$ (Spherical collapse model) を使うと、

$$v^2 = \frac{2GM_1}{R_1} (1 + \alpha) \left\{ \frac{1}{1 + \alpha^{(5+n)/6}} - \frac{1}{4(1 + \alpha)^{(5+n)/6}} \frac{R_1}{r_1} \right\} \left\{ 1 - \frac{1}{16(1 + \alpha)^{(5+n)/3}} \left(\frac{b}{r_1} \right)^2 \right\}^{-1}$$

$$\alpha = \frac{M_2}{M_1}$$

$$\lambda \equiv \frac{J|E|^{1/2}}{G(M_1 + M_2)^{5/2}} = \frac{vb}{(GM_1R_1)^{1/2}} \frac{\alpha^{3/2}}{(1 + \alpha)^{7/2}} \left\{ \frac{1}{1 + \alpha^{(5+n)/6}} - \frac{R_1v^2}{2GM_1} \frac{1}{1 + \alpha} \right\}^{1/2}$$

$(M_1, r_1, R_1, \alpha, n, \lambda)$

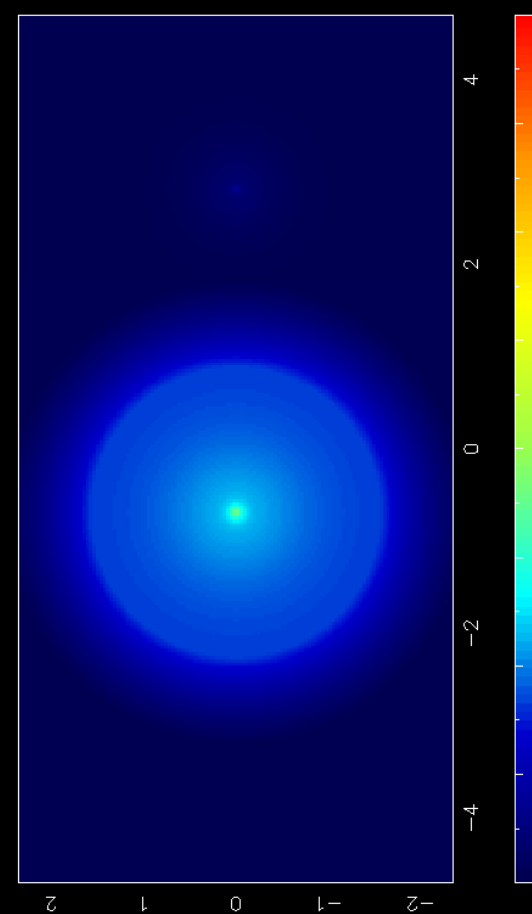
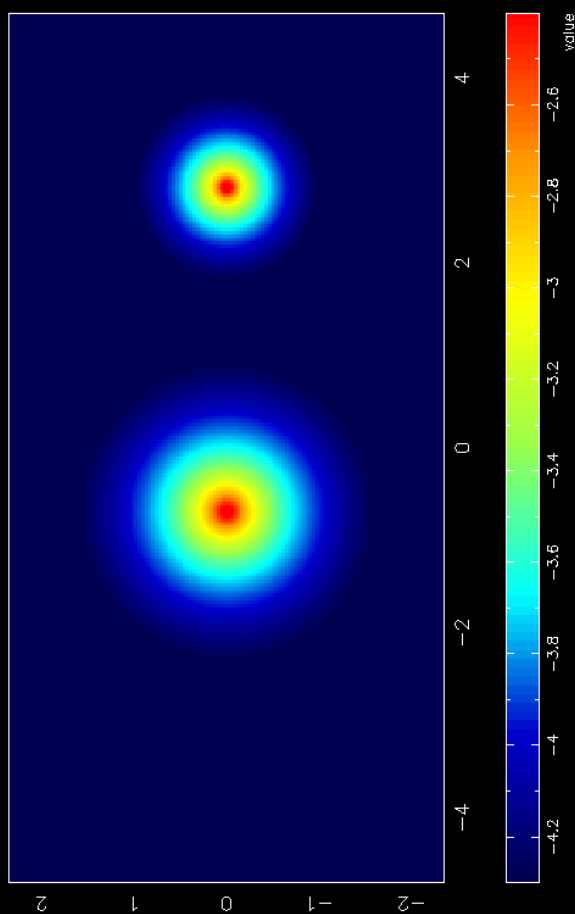
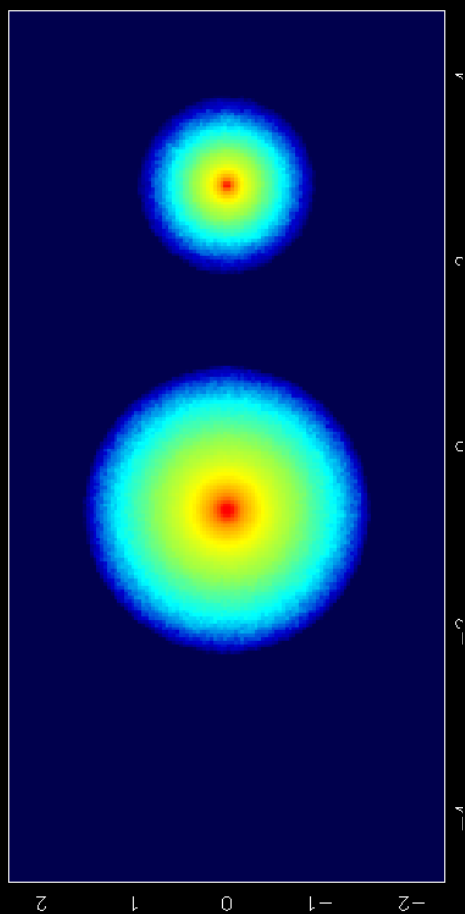
(v, b)

Movies

質量分布

ガス密度分布

ガス温度分布

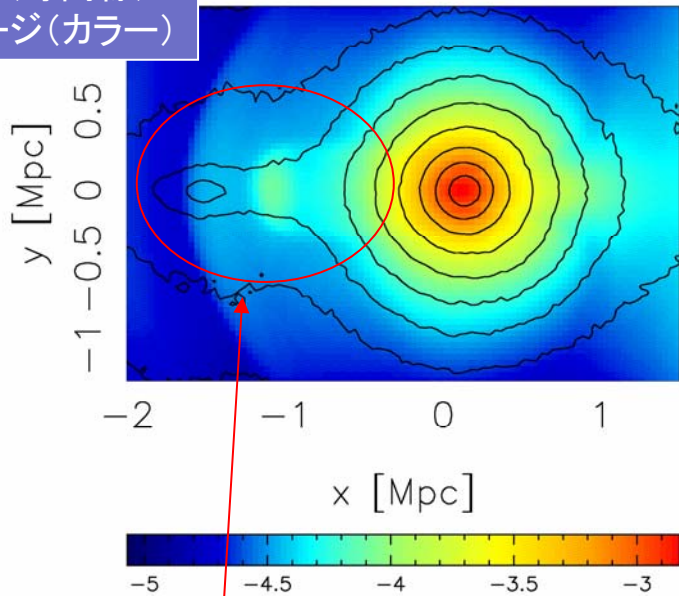


Simulation Results(1)

質量比16:1の正面衝突、コア通過後約1Gyr

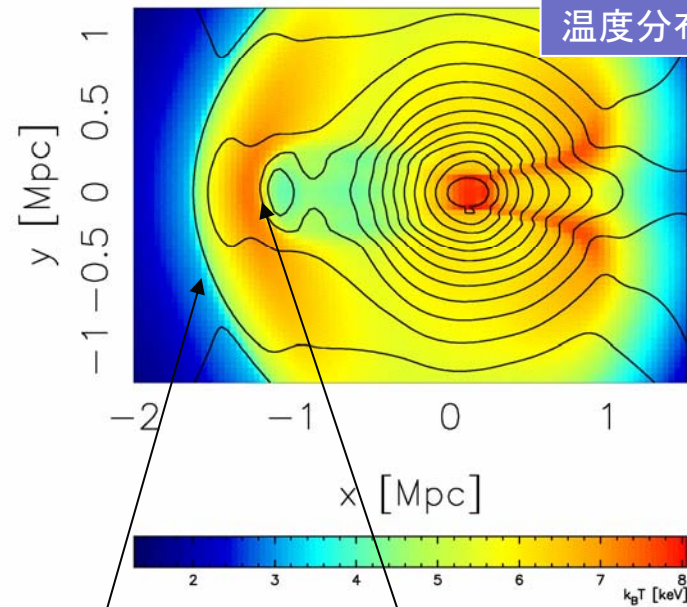
(a) mass vs X-ray

質量分布(等高線)
X線イメージ(カラー)



(b) X-ray vs kT_{ew}

X線イメージ(等高線)
温度分布(カラー)



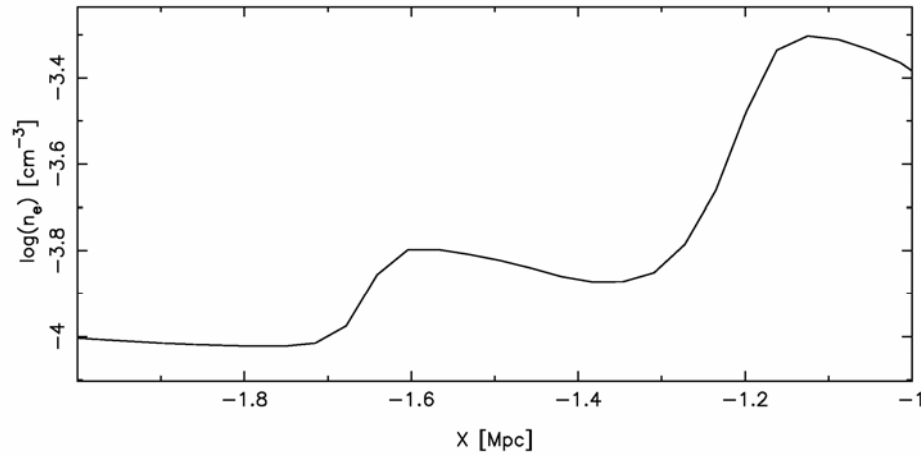
Bow shock

Cold front
(接触不連続面)

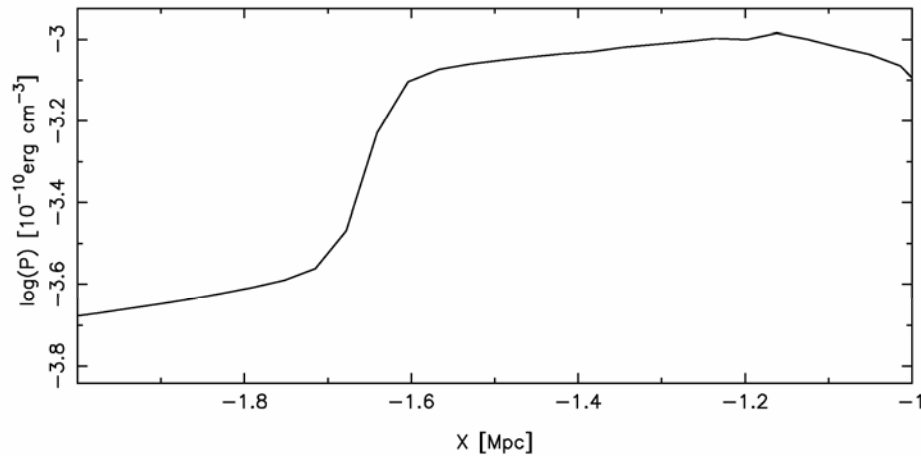
質量ピークに遅れるX線ピーク

Simulation Results(2)

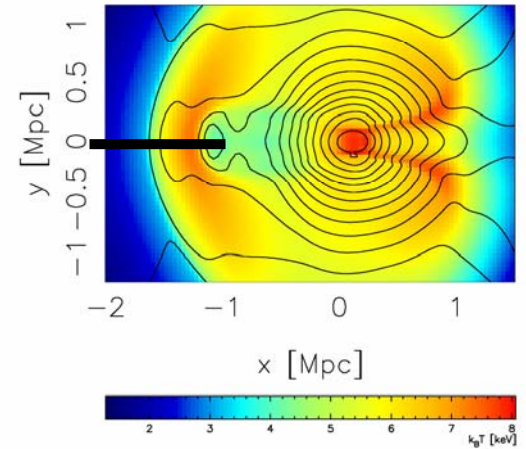
(a) Density



(b) Pressure



(b) X-ray vs kT_{ew}



簡単な解析的モデルによる議論(1)

質量が $M_{1,2}$ ($M_1 > M_2$)、ヴィリアル半径が $R_{1,2}$ の銀河団の正面衝突を考える
ガスがはぎ取られるための条件は、
サブストラクチャーでの重力とram pressure forceとの比較から

$$\frac{Gm_2\rho_2}{r_2^2} < A(\pi r_2^2 \rho_1 v^2) \left(\frac{4}{3}\pi r_2^3\right)^{-1},$$

$\rho_{1,2}$ は中心部のガス密度、 r_2 はscale radius。 m_2 は r_2 内の質量
 A は $O(1)$ のfactor。ただしram pressure force はガスのはぎ取り
以外にも使われるので、おそらく $A < 1$

衝突速度 v は
$$v^2 \simeq \frac{2G(M_1 + M_2)}{R_1 + R_2},$$

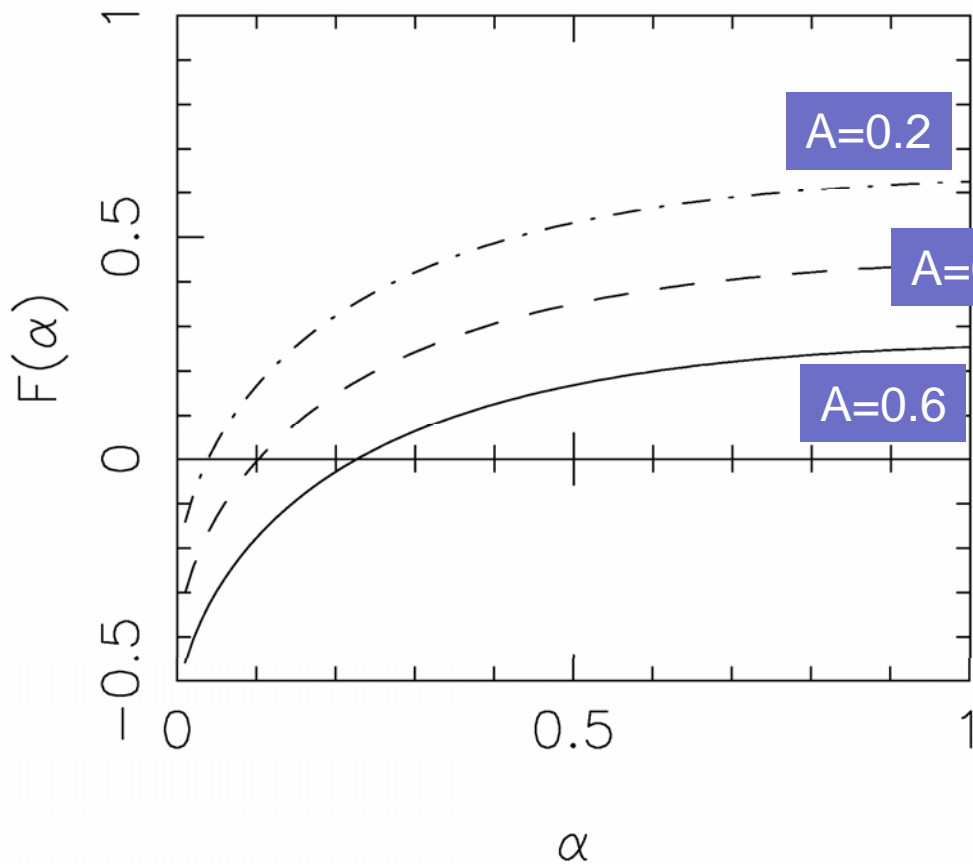
$\alpha \equiv M_2/M_1$ とすると、 $R_2/R_1 = \alpha^{1/3}$ 、 $\rho_1/\rho_2 = \alpha^{-x}$ とおけて
(Λ CDMでは $x \sim 0.25$)、結局

$$F(\alpha : M_1) \equiv \alpha^{2/3-x} \frac{1 + \alpha^{1/3}}{1 + \alpha} - \frac{3A}{2g(\alpha M_1)c(\alpha M_1)} < 0.$$

ただし、 $c = r_2/R_2$ はNFWモデルのconcentration parameter で M に弱く依存する関数
さらにNFWモデルでは

$$g(M_2) \equiv \frac{m_2}{M_2} = \frac{\ln 2 - 1/2}{\ln(1+c) - c/(1+c)},$$

簡単な解析的モデルによる議論(2)



$F(\alpha) < 0$ でラム圧優勢
 $\alpha = M_2/M_1$

$\alpha \sim 0.1$ より小さいところ
ではram pressureによる
ガスのはぎ取りが有効
→小さなsubstructureほど
ガスがはぎ取られやすい。

境目の値がsimulationで
うまくoff-setがでた場合に
近いのは偶然か？

簡単な解析的モデルによる議論(3)

- Ram pressure \ll 重力
 - ガスもDMと同じように振る舞う
 - DM peaks と X-ray peaks は一致
- Ram pressure \gg 重力
 - そもそもガスはコアを突き抜けられない
 - DM はdouble peaks、X-rayはsingle elongated peak
- Ram pressure \simeq 重力
 - Off-setしたDMとX-ray peaks がうまくあらわれる。
 - 1E0657-56のような構造はおそらくそう多くはないだろう。

まとめ

- 衝突銀河団1E0657-56のX線および質量の分布について研究した。
- N体+流体シミュレーションを用いて、substructure周囲の特徴的な構造を再現することに成功した。
 - X線ピークと質量ピークのずれ
 - Bow shock + cold front (接触不連続面)
- 簡単な解析的モデルを用いて、NFWモデル同士のmergerでのガスのはぎ取りの条件を議論した。
 - 小さなsubstructureほどガスははぎ取られやすい。
 - 質量比が $\sim 1:10$ 程度のときに重力とラム圧が拮抗する。そのようなときに特徴的なピークのずれが生じると推測される。